

# Динамика работы механизма привода продольной подачи металлорежущего станка

Е. Н. Каширская<sup>1</sup>, В. А. Холопов<sup>2</sup>, Е. В. Курнасов<sup>3</sup>, А. С. Сигов<sup>4</sup>

Московский технологический университет (МИРЭА)

<sup>1</sup>kashi@list.ru, <sup>2</sup>holopov@gmail.com, <sup>3</sup>kurnasov@mirea.ru, <sup>4</sup>sigov@mirea.ru

**Аннотация.** Оптимизация управления промышленными киберфизическими системами может быть проведена на основе моделирования поведения составляющих системы, в том числе рассматриваемой в настоящей работе модели механизма привода подачи металлорежущего станка. Деформация ходового винта привода подачи рассчитывается различными методами с разной степенью абстрагирования. Наиболее точной является предложенная модель стержня с распределенной массой под действием перемещающейся нагрузки. Учет полученной зависимости деформации ходового винта от параметров технологического процесса может обеспечить повышение геометрической точности и производительности изготовления деталей без существенного увеличения износа металлорежущего станка.

**Ключевые слова:** математический анализ; динамическая модель; технология машиностроения; привод подачи; процесс резания; управление точностью; обработка материалов резанием; погрешность; колебательный процесс

## I. ВВЕДЕНИЕ

Обеспечение заданной точности изготовления деталей при механической обработке зависит от множества факторов [1–3], часть из которых переменна, а часть должна оставаться неизменной в процессе резания. Требуемая точность обработки материалов резанием может быть достигнута при соблюдении заданных режимов [4, 5]. При этом большое значение имеет соблюдение постоянства параметров упругой системы металлорежущего станка [6–8] и, в первую очередь, обеспечение неизменной жесткости механизма подачи, реализованного посредством ходового винта.

В приводе подач металлорежущих станков ходовой винт стола можно представить в виде схемы, показанной на рис. 1.

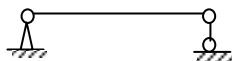


Рис. 1. Схема ходового винта

Будем решать задачу обеспечения постоянства жесткости механизма подачи, используя возможность управления параметрами режимов резания.

Работа выполнена в рамках прикладных научных исследований и экспериментальных разработок (ПНИЭР) по заказу Министерства образования и науки РФ (уникальный идентификатор ПНИЭР RFMEFI58016X0008).

## II. СТАТИЧЕСКОЕ РЕШЕНИЕ

Представим ходовой винт стола стержнем с сосредоточенной массой (рис. 2).

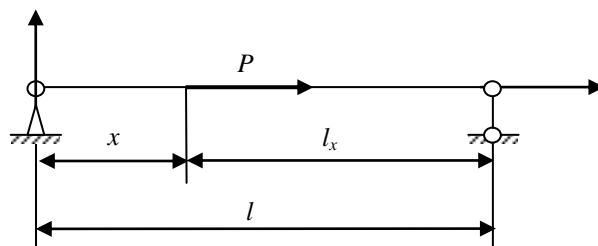


Рис. 2. Схема ходового винта с приложенной нагрузкой

Абсолютное удлинение стержня под действием продольной силы  $P = \text{const}$ :

$$\Delta = Pl_x/EF, \text{ м,}$$

где  $E$  – модуль упругости материала стержня, Н/м<sup>2</sup>;  $F$  – площадь поперечного сечения стержня, м<sup>2</sup>;  $l_x = l - x$  – сжимаемая длина стержня, мм;  $l$  – полная длина стержня, мм;  $x = V_s \tau$  – координата точки приложения силы, мм;  $\tau$  – время, мин,  $V_s$  – скорость подачи.

Относительное удлинение:  $\varepsilon = \Delta/l_x$ .

Податливость стержня:  $\delta = \Delta/P = l_x/EF$ , мм/Н.

Жесткость стержня:

$$c = P/\Delta = EF/l_x = EF/l - x = EF/l - V_s \tau, \text{ Н/мм,}$$

где  $V_s = S \cdot n$  – скорость продольной подачи, мм/мин;  $n$  – частота вращения шпинделя, об/мин;  $S$  – продольная подача, мм/об.

Положив жесткость  $c = \text{const}$ , приходим к  $V_s = \text{const}$ , то есть обеспечить постоянство жесткости ходового винта за счет изменения скорости подачи невозможно, следовательно, статическими методами задача не решается.

## III. КИНЕМАТИЧЕСКОЕ РЕШЕНИЕ

Пусть  $P = \text{var}$ , например, предположим, что  $P = C_p t^x S^y (HB)^z$ , как это принято в теории резания, где  $C_p$  – коэффициент пропорциональности;  $HB$  – твердость обрабатываемого материала;  $x, y, z$  – показатели степени.

Абсолютное удлинение стержня:  $\Delta = Pl_x/EF = P(l-x)/EF$ .

Положив  $\Delta = const$ , так как только при этом условии можно обеспечить жесткость  $c = const$ , и обозначив

$$S^y(l-l_x) = S^y(l-Sn\tau) = A = const, \quad (1)$$

то есть  $A = C_p f^x(HB)^z/EF = S^{y+1}/(lS - n\tau)$ ,

получим  $(y+1)\ln S + \ln(lS - n\tau)$ .

Для обеспечения постоянства параметра  $A$  нужно исследовать выражение (1) на экстремум:  $(d/d\tau) S^y(l-Sn\tau) = 0$ , то есть

$$\dot{S}(yl - (y-1)Sn\tau) - S^2(\dot{n}\tau + n) = 0 \quad (2)$$

При постоянной величине подачи  $S = const$ ,  $\dot{S} = 0$ , уравнение (2) принимает вид:  $\dot{n}\tau + n = 0$ .

Его решение:  $n = C/\tau$ ,

где  $C$  – произвольная постоянная интегрирования.

При  $\tau = 0$  значение  $n$  будет стремиться к бесконечности, что противоречит физическому смыслу задачи. Решить задачу при постоянстве скорости подачи невозможно.

При постоянной частоте вращения  $n = const$ ,  $\dot{n} = 0$ , уравнение (2) принимает вид:

$$\dot{S}(yl - (y+1)Sn\tau) - S^2n = 0.$$

Это уравнение не имеет аналитического решения, но его можно решить численно.

Начальные условия:  $S = S_0$  при  $\tau = 0$ . Необходимо подобрать закон изменения подачи  $S$  так, чтобы коэффициент при  $\dot{S}$  оказался равен нулю:  $yl = (y+1)S_n\tau$ . Достигается это при значении подачи  $S = yl/((y+1)n\tau)$ .

Это решение требует непрерывного уменьшения подачи в процессе обработки заготовки, что технологически нас не устраивает.

При изменении подачи в виде функции, обратно пропорциональной времени, решение уравнения (2) ищем в виде  $S = a/\tau$ , где  $a = const$ . Уравнение (2) принимает вид:  $a\dot{n}\tau = yan - yl$ . Его решение:  $n = (C\tau^y + l)/a$ . Значения параметров  $a$  и  $C$  найдем из начальных условий.

Начальные условия: при  $\tau = \tau_0$   $S = S_0$ ,  $n = n_0$ , откуда  $a = S_0\tau_0$ ,  $C = (S_0n_0\tau_0 - l)/\tau_0^y$ .

$$\begin{cases} n = \frac{1}{S_0\tau_0} \left( (S_0n_0\tau_0 - l) \left( \frac{\tau}{\tau_0} \right)^y + l \right) \\ \tau \geq \tau_0, \quad S = \frac{S_0\tau_0}{\tau} \end{cases}$$

Отсюда следует, что при  $\tau = 0$  подача стремится к бесконечности, следовательно, такой метод решения не годится. Решить задачу кинематически невозможно.

#### IV. ДИНАМИЧЕСКОЕ РЕШЕНИЕ

В самом простом варианте рассмотрим ходовой винт стола как одномассовую систему:

$$m(d^2x/d\tau^2) + \lambda(dx/d\tau) + xEF/(l - V_s\tau) = 0, \quad (3)$$

где  $m$  – масса винта, кг;  $\lambda$  – коэффициент демпфирования, кг/с.

Будем искать решение в виде  $x = ze^{k\tau}$ .

Получаем характеристическое уравнение  $mk^2 - \lambda k + EF/(l - V_s\tau) = 0$ . Это квадратное (относительно  $k$ ) уравнение имеет дискриминант  $D = \lambda^2 - 4mEF/(l - V_s\tau)$ . Значение  $D = 0$  определяет границу между периодическим и непериодическим решениями. Корень уравнения  $D = 0$  имеет следующее значение:  $V_s = (\lambda^2 l - 4EFm)/\lambda^2 \tau$ . Фактически это решение совпадает с полученным кинематически и нас не удовлетворяет. Значит,  $D \neq 0$ .

При  $D > 0$  получаем аperiодический процесс. Колебания массы быстро затухают и перестают влиять на изменения  $V_s$ . Естественно, такая ситуация нас не интересует.

При  $D < 0$  корни характеристического уравнения:

$$k_{1,2} = \alpha \pm i\beta,$$

$$\text{где } \alpha = \frac{\lambda}{2m}, \quad \beta = \sqrt{\frac{\lambda^2}{4m^2} - \frac{EF}{m(l - V_s\tau)}}.$$

Решением уравнения (3) является выражение  $x = e^{\alpha\tau}(C_1 \sin \beta\tau + C_2 \cos \beta\tau)$ . Так как  $\alpha > 0$ , функция  $x(\tau)$  является возрастающей. В этом случае для равенства нулю функции  $x(\tau)$  необходимо приравнять нулю выражение  $C_1 \sin \beta\tau + C_2 \cos \beta\tau$ :  $C_1 \sin \beta\tau + C_2 \cos \beta\tau = 0$ .

Отсюда следует:  $\text{tg}\beta\tau = C_2/(C_1 = C_3 = const)$ , и, следовательно,  $\beta\tau = \text{arctg} C_3 = C_4 = const$ ,

$$\text{где } C_4 = \tau \sqrt{\frac{\lambda^2}{4m^2} - \frac{EF}{m(l - V_s\tau)}}$$

$$\text{или } V_s = \frac{4m(EF\tau^2 + C_4ml)}{\tau(4C_4m^2 - \lambda^2\tau^2)}.$$

Значение коэффициента  $C_4$  можно найти из начальных условий. Указанный закон изменения  $V_s$  не обеспечивает условие  $x(\tau) = 0$ .

Рассмотрим систему с распределёнными параметрами. Дифференциальное уравнение продольных колебаний упругого стержня (рис. 1) имеет следующий вид:

$$m_0 \frac{\partial^2 \Delta}{\partial \tau^2} = EF \frac{\partial^2 \Delta}{\partial x^2} + P \cdot \delta(x - V_s \tau), \quad (4)$$

где  $m_0$  – распределенная по длине масса стержня, кг/мм,  $\delta(x - V_s \tau)$  – дельта-функция Дирака, 1/мм.

Будем искать решение в виде ряда:

$$\Delta = \sum_{i=1}^{\infty} f_i(\tau) \cdot \varphi_i(x).$$

В качестве  $\varphi_i(x)$  возьмем собственные функции свободных колебаний стержня:

$$\varphi_i(x) = \sin(\pi i x / 2l),$$

где  $i$  – номер гармоники.

Разложим дельта-функцию  $\delta(x - V_s \tau)$  в ряд по собственным формам:

$$\delta(x - V_s \tau) = \sum_{i=1}^{\infty} d_i \sin \frac{\pi i x}{2l}.$$

Теперь уравнение (4) принимает вид:

$$m_0 \frac{\partial^2 \Delta}{\partial \tau^2} = EF \cdot \frac{\partial^2 \Delta}{\partial x^2} + P \cdot \sum_{i=1}^{\infty} \frac{2}{l} \sin \frac{\pi i V_s \tau}{2l}. \quad (5)$$

Ищем решение этого уравнения в виде  $\Delta = \sum_{i=1}^{\infty} f_i(\tau) \cdot \sin \frac{\pi i x}{2l}$ , что приводит уравнение (5) к виду (6):

$$\begin{aligned} \sum_{i=1}^{\infty} m_0 \ddot{f}_i(\tau) \cdot \sin \frac{\pi i x}{2l} = \\ = \sum_{i=1}^{\infty} \left( -EF \cdot \left( \frac{\pi i}{2l} \right)^2 \cdot f_i(\tau) + P \cdot \frac{2}{l} \cdot \sin \frac{\pi i V_s \tau}{2l} \right) \cdot \sin \frac{\pi i x}{2l}. \end{aligned} \quad (6)$$

Для отдельной гармоники:

$$m_0 \cdot \ddot{f}_i(\tau) + EF \cdot \left( \frac{\pi i}{2l} \right)^2 \cdot f_i(\tau) = \frac{2}{l} \cdot P \cdot \sin \frac{\pi i V_s \tau}{2l}. \quad (7)$$

Введем обозначения:

$$\frac{EF}{m_0} \cdot \left( \frac{\pi i}{2l} \right)^2 = k_i^2, \quad \frac{2P}{m_0 l} = A, \quad \frac{\pi i V_s}{2l} = \omega_i.$$

Уравнение (7) – дифференциальное уравнение второго порядка с постоянными коэффициентами. Его решение имеет вид:

$$f_i(\tau) = C_1 \cos k_i \tau + C_2 \sin k_i \tau + \frac{A}{k_i^2 - \omega_i^2} \sin \omega_i \tau. \quad (8)$$

С учетом начальных условий  $\tau = 0$   $f(\tau) = 0$ ,  $\dot{f}(\tau) = 0$  получено решение уравнения (8):

$$f_i(\tau) = \frac{A}{k_i^2 - \omega_i^2} (\sin \omega_i \tau - \omega_i \sin k_i \tau).$$

Решение уравнения (6) выглядит следующим образом:

$$f = \sum_{i=1}^{\infty} \frac{8Pl}{(\pi i)^2 (EF - m_0 V_s^2)} \left( \sin \frac{\pi V_s \tau}{2l} - \frac{\pi V_s}{2l} \sin \frac{\pi \tau}{2l} \sqrt{\frac{EF}{m_0}} \right).$$

и тогда решение уравнения (4) будет иметь вид:

$$\begin{aligned} \Delta = \sum_{i=1}^{\infty} \frac{8Pl}{(\pi i)^2 (EF - m_0 V_s^2)} \left( \sin \frac{\pi V_s \tau}{2l} - \right. \\ \left. - \frac{\pi V_s}{2l} \sin \frac{\pi \tau}{2l} \sqrt{\frac{EF}{m_0}} \right) \sin \frac{\pi i x}{2l}. \end{aligned} \quad (9)$$

Теперь, когда решение получено, надо найти условия, при которых, независимо от времени, будет соблюдаться равенство

$$\Delta = P(l - x)/EF. \quad (10)$$

Попытаемся решить уравнение (10) взяв только первую гармоническую составляющую:

$$\Delta_1 = \frac{8Pl}{\pi^2 (EF - m_0 V_s^2)} \left( \sin \frac{\pi V_s \tau}{2l} - \frac{\pi V_s}{2l} \sin \frac{\pi \tau}{2l} \sqrt{\frac{EF}{m_0}} \right) \sin \frac{\pi x}{2l}.$$

Получим следующее уравнение:

$$\begin{aligned} \frac{8l}{\pi^2 (EF - m_0 V_s^2)} \left( \sin \frac{\pi V_s \tau}{2l} - \frac{\pi V_s}{2l} \sin \frac{\pi \tau}{2l} \sqrt{\frac{EF}{m_0}} \right) \sin \frac{\pi x}{2l} = \\ = \frac{l - V_s \tau}{EF}. \end{aligned}$$

Это трансцендентное уравнение аналитически не решается, но его вид свидетельствует о том, что, так как функция (9) зависит от времени, добиться постоянства жесткости ходового винта стола невозможно.

Теперь рассмотрим винт как стержень с бегущей вдоль него нагрузкой, которая вызывает вынужденные продольные колебания.

Время действия нагрузки на стержень (рис. 3) равно времени прохождения суппорта вдоль длины винта:  $\tau_0 = l/V_s$ .

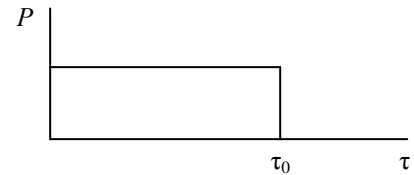


Рис. 3. Нагрузка на винт

Действующую на винт нагрузку можно представить как сумму двух сил:  $P = P_1 + P_2$  (рис. 4).

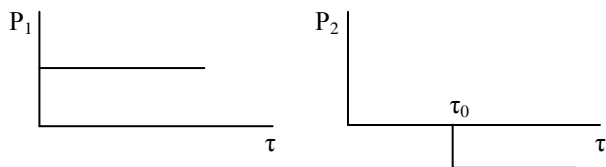


Рис. 4. Составляющие нагрузки на ходовой винт

При  $\tau \leq \tau_0$

$$\Delta = \sum_{i=1}^{\infty} \frac{8Pl}{(\pi i)^2 (EF - m_0 V_s^2)} \times \left( \sin \frac{\pi i V_s \tau}{2l} - \frac{\pi i V_s}{2l} \sin \frac{\pi i \tau}{2l} \sqrt{\frac{EF}{m_0}} \right) \times \sin \frac{\pi i V_s \tau}{2l}.$$

При  $\tau > \tau_0$

$$\Delta = \sum_{i=1}^{\infty} \frac{8Pl}{(\pi i)^2 (EF - m_0 V_s^2)} \left( \left( \sin \frac{\pi i V_s \tau}{2l} - \frac{\pi i V_s}{2l} \sin \frac{\pi i \tau}{2l} \sqrt{\frac{EF}{m_0}} \right) \times \sin \frac{\pi i V_s \tau}{2l} - \left( \sin \frac{\pi i V_s (\tau - \tau_0)}{2l} - \frac{\pi i V_s}{2l} \sin \frac{\pi i (\tau - \tau_0)}{2l} \sqrt{\frac{EF}{m_0}} \right) \times \sin \frac{\pi i V_s (\tau - \tau_0)}{2l} \right),$$

где  $\tau_0 = l/V_s$ .

В качестве примера, для иллюстрации полученной зависимости деформации ходового винта от параметров процесса, на рис. 5 приведен график частной зависимости первой гармонической составляющей деформации винта от скорости подачи при  $l=1$  м,  $d=30$  мм,  $n=1500$  об/мин.

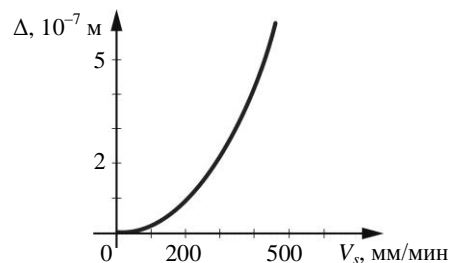


Рис. 5. Зависимость удлинения ходового винта от подачи

## V. ЗАКЛЮЧЕНИЕ

Проведенное исследование показывает, что деформация винта при прецизионной обработке сказывается на геометрической точности, особенно в условиях высокоскоростного фрезерования с увеличенной подачей, следовательно, нужно учитывать динамические модели составляющих узлов киберфизической системы в управлении процессом резания для обеспечения требуемой точности.

## СПИСОК ЛИТЕРАТУРЫ

- [1] Комаров В.А., Плешаков В.В. Инновационные технологии на базе импульсной теории резания // Вестник МГТУ МИРЭА. 2015. Т. 2. № 3 (8). С. 123-130.
- [2] Додонов В.В. Повышение точности обработки на станках с числовым программным управлением // Инженерный журнал: наука и инновации. 2016. № 6 (54). С. 5.
- [3] Kushnir A.P. Passage of pollutants through contactless seals with a motionless spindle // Russian Engineering Research. 2011. V. 31. No. 1. P. 53-55.
- [4] Lizogub V.A. Influence of the design parameters of the lathe assemblies and the cutting regime on machining accuracy // Russian Engineering Research. 2007. V. 27. No. 6. P. 371-373.
- [5] Kurnasov E.V. Creation of plastic zones and their cross sections in NC CAD equipment // Russian Engineering Research. 2009. V. 29. No. 2. P. 191-193.
- [6] Lizogub V.A., Kashirskaya E.N. Assessing the pliability of a machine tool's faceplate and spindle flange // Russian Engineering Research. 2011. V. 31. No. 10. P. 1010-1012.
- [7] Максarov В.В., Леонидов П.В. Моделирование и управление динамическими свойствами технологических систем // Записки Горного института. 2014. Т. 209. С. 71-77.
- [8] Зуев В.В., Шмелева А.Г. Моделирование поведения материалов с переменными упругими свойствами при динамических нагрузках // Приборы. 2007. № 2. С. 49-51.